



شناسایی مولکولی ویروس اپشن بار در نمونه‌های بیوپسی مبتلایان به سرطان مثانه در استان بوشهر، ایران

رضا طاهرخانی (PhD)^{۱*}، محمدرضا فرزانه (MD)^۲، سکینه طاهرخانی (PhD)^۳، اعظم امینی (MD)^۱، فائزه کشتکار (MD)^۱، مریم آقاسی‌پور (MD)^۱، آرزو بدیری (MD)^۱، زهرا عنایی (MD)^۱، فاطمه فرشادپور (PhD)^{۱**}

^۱ گروه ویروس‌شناسی، دانشکده پزشکی، دانشگاه علوم پزشکی بوشهر، بوشهر، ایران

^۲ مرکز تحقیقات طب گرمیبری و عفونی خلیج فارس، پژوهشکده علوم زیست پزشکی خلیج فارس، دانشگاه علوم پزشکی بوشهر، بوشهر، ایران

^۳ گروه پاتولوژی، دانشکده پزشکی، دانشگاه علوم پزشکی بوشهر، بوشهر، ایران

^۱ گروه مامایی، دانشکده پزشکی، دانشگاه علوم پزشکی و خدمات بهداشتی درمانی اراک

(دریافت مقاله: ۱۴۰۱/۵/۲۹ - پذیرش مقاله: ۱۴۰۱/۸/۱)

چکیده

زمینه: سرطان مثانه ششمین سرطان شایع در مردان و دهمین نوع سرطان در زنان است. نقش عفونت‌های ویروسی در ایجاد سرطان مثانه در سال‌های اخیر بسیار مورد بحث قرار گرفته است. نقش ویروس اپشن بار (EBV) به عنوان کوکارسینوژن در برخی از سرطان‌های انسانی اثبات شده است. لذا هدف این پژوهش، بررسی مولکولی EBV در تومورهای مثانه در استان بوشهر می‌باشد.

مواد و روش‌ها: پژوهش حاضر یک مطالعه توصیفی-تحلیلی است. جمعیت مورد مطالعه شامل بیوپسی‌های بافت مثانه افراد مبتلا به سرطان مثانه مراجعه کننده به بیمارستان شهدای خلیج فارس بوشهر می‌باشد. بافت بیوپسی مثانه پارافینه مربوط به ۱۸۱ بیمار مبتلا به سرطان مثانه با میانگین سنی $64/52 \pm 13/78$ و همچنین تعداد ۳۰ نمونه بافت مثانه غیرسرطانی به عنوان گروه کنترل، بعد از پارافین‌زدایی و تخلیص اسیدنوکلئیک، جهت آزمون‌های مولکولی مورد بررسی قرار گرفتند. به‌منظور اطمینان از عدم حضور مهارکننده‌های PCR ابتدا شناسایی ژن بتاگلوبین انسانی به عنوان کنترل داخلی و سپس شناسایی ژن BKRF1 ویروس EBV با روش nested PCR انجام گردید. در پایان از نرم‌افزار SPSS ویرایش ۲۶ جهت تجزیه تحلیل داده‌ها و آزمون‌های آماری استفاده شد.

یافته‌ها: از ۱۸۱ بافت کارسینوم مثانه مورد مطالعه، ۷ مورد (۳/۹ درصد) با ویروس EBV آلوده بودند، ولی رابطه آماری معناداری میان سن، جنس، مرحله و درجه تومور با مثبت شدن نمونه از نظر ویروس EBV مشاهده نگردید ($p > 0.05$). همچنین در هیچ‌کدام از نمونه‌های غیرسرطانی به عنوان گروه کنترل ویروس EBV شناسایی نشد، با این وجود، اختلاف شیوع EBV بین گروه بیماران سرطان مثانه و گروه کنترل از نظر آماری معنی‌دار نبود ($p = 0.33$). همچنین نتایج توالی‌بایی محصولات PCR ژن BKRF1 و رسم درخت فیلوزنیک بیانگر وجود ویروس EBV تایپ ۱ در نمونه‌های مثبت می‌باشد.

نتیجه‌گیری: بر اساس یافته‌های مطالعه حاضر و با وجود اینکه درصد عفونت EBV در نمونه‌های سرطانی بیشتر از نمونه‌های غیرسرطانی بود، بعد است که ویروس EBV عامل مؤثری در ایجاد سرطان مثانه در استان بوشهر باشد و احتمالاً در جمعیت مورد مطالعه ما عوامل خطر دیگری همانند آلوگکی روزافرون هوا در این منطقه از کشور، مشاغل پرخطر، مصرف دخانیات و سایر عوامل ویروسی سرطان‌زا در اتیولوژی تومور مثانه نقش دارد.

وازگان کلیدی: سرطان مثانه، ویروس اپشن بار، nested PCR، استان بوشهر

** بوشهر، گروه ویروس‌شناسی، دانشکده پزشکی، دانشگاه علوم پزشکی بوشهر، بوشهر، ایران

قرار گرفتن در معرض عوامل عفونی مرتبط است. مشخص شده است ویروس‌های مرتبط با سرطان (رتروویروس‌ها، ویروس هپاتیت C و DNA ویروس‌های مختلف) باعث ۱۵ تا ۲۰ درصد از سرطان‌های انسانی می‌شوند (۷).

خانواده هرپس ویریده دارای هشت پاتوژن مهم انسانی شامل ویروس هرپس سیمپلکس ۱ و ۲، ویروس واریسلازروستر، ویروس سیتومگالو، ویروس اپشتین بار (EBV) و ویروس‌های هرپس انسانی ۶، ۷ و ۸ می‌باشد (۸). نقش ویروس EBV به عنوان کوکارسينوژن (Co-carcinogen) در برخی سرطان‌های انسانی پذیرفته شده است. گرچه راه اصلی انتقال ویروس EBV از طریق تنفسی است ولی احتمال انتقال ویروس EBV از طریق تماس جنسی نیز وجود دارد (۹) این ویروس می‌تواند علاوه بر خون، از این طریق نیز به بافت مثانه وارد شود. نقش ویروس اپشتین-بار (EBV) به عنوان یک کارسينوژن در لنفومن بورکیت (Burkitt lymphoma) و کارسينوما نازوفارنکس (Nasopharyngeal carcinoma) شناخته شده است، همچنین احتمالاً در بدخیمی‌های دیگری شامل لنفومن‌های هوچکین و غیرهوچکین (Non-Hodgkin) می‌رسد به وسیله مهار آپوپتوزیس سلول‌های لنفومن باشد (۱۰ و ۱۱). همچنین ویروس EBV با برخی از نئوپلازی‌های دیگری همانند لوزه (tonsil)، زبان (tongue)، حنجره (laryngeal)، غده بنا گوشی (gastric)، معده‌ای (parotid) و ریوی (pulmonary) مرتبط می‌باشد (۱۱). علاوه بر این ویروس EBV در اپیتلیوم گردن رحم تکثیر می‌کند و در بیوپسی‌های گردن رحم بیماران با کارسينوما مهاجم تشخیص داده شده است (۱۲). همچنین ژنوم EBV

مقدمه

تومور مثانه (urinary bladder cancer) دهمین سرطان شایع در دنیا و ششمین سرطان شایع در مردان می‌باشد و ۳ درصد کل بدخیمی‌ها را شامل می‌شود که در مردان ۴ برابر شایع‌تر از زنان است (۱). تخمین زده شده در کشوری که ۲۵۰ میلیون جمعیت دارد سالانه حدود ۶۵ تا ۷۵ هزار مورد جدید ابتلا به سرطان مثانه گزارش می‌شود که ۱۳ تا ۱۵ هزار نفر از آن‌ها به علت ابتلا به این تومور جان خود را از دست می‌دهند (۲). سرطان مثانه در کشورهای در حال توسعه بیشتر از کشورهای توسعه یافته می‌باشد (۳ و ۴) و سن شروع این بیماری از دهه چهارم می‌باشد که در دهه ششم، هفتم و هشتم به بیشترین میزان خود می‌رسد (۳). بیش از ۹۰ درصد از سرطان‌های مثانه بصورت کارسينوم‌های سلول‌های انتقالی (Transitional Cell Carcinomas-TCCs) می‌باشد که اکنون به آن کارسينوم سلول‌های یوروتیال (Urothelial Cell Carcinomas) می‌گویند، در حالی که ۱۰ درصد کارسينوما سلول‌های سنجفرشی (SCCs)-squamous cell carcinomas آدنوکارسينوما می‌باشد (۵).

فاکتورهای خطر دخیل در سرطان مثانه شامل جنس، سن، فاکتورهای ژنتیکی، مصرف سیگار، تماس شغلی با مواد شیمیایی و سرطان‌زا، مصرف الکل، مصرف گوشت فرآوری شده، مصرف مسکن، شیرینی کننده‌های صناعی، رادیوتراپی و کمoterapی، التهاب مزمن مثانه و عوامل عفونی در ایجاد سرطان مثانه می‌باشند (۵ و ۶). عفونت می‌تواند سبب تحریک التهاب شود و عوامل عفونی می‌توانند پیش‌برنده‌های (promoters) ترانسفورماتیون نئوپلاستیک باشند و خطر بدخیمی‌های یوروولوژیکال (Urological) با

مثانه از آرشیو بخش پاتولوژی استخراج گردید. تعداد ۳۰ بیمار بدلیل موجود نبود بلاک بافت پارافینه و یا کیفیت نامناسب بافت بدنیال استخراج DNA، از مطالعه حذف گردید. بنابراین از میان ۲۱۱ بیمار، بافت پارافینه مربوط به ۱۸۱ بیمار مبتلا به سرطان مثانه جهت آزمون‌های مولکولی مورد بررسی قرار گرفتند. همچنین تعداد ۳۰ نمونه بافت مثانه غیرسرطانی به عنوان گروه کنترل استفاده شدند، که شامل تعداد ۱۱ نمونه بافت مثانه غیرسرطانی که توسط همکار پاتولوژیست در پرونده التهابی و یا هموراژیک (شامل ۶ نمونه Chronic Inflammation، یک نمونه Active Hemorrhagic cystitis Chronic Inflammation and Eosinophilic Fibromuscular Infiltration، دو نمونه hyperplasia and congested vessels و یک نمونه Fibrosis with mild Inflammation) گزارش شده است و تعداد ۱۹ نمونه بافت نرمал (بدون سرطان و فاقد التهاب) که از نمونه‌های اتوپیسی کالبد شکافی اجساد که از پزشکی قانونی گرفته شدند، بود. لامهای مربوط به تمام نمونه‌ها سرطانی و غیرسرطانی (گروه کنترل) توسط همکار پاتولوژیست تأیید شدند. جهت استخراج اسید نوکلئیک (DNA) از نمونه‌های بافتی، ابتدا توسط دستگاه میکروتوم از هر نمونه ۱۰ برش متواالی با ضخامت ۱۰ میکرون تهیه و در لوله اپندرف با حجم ۲ میلی‌لیتر استریل جمع‌آوری شدند. قبل از برش‌های ۱۰ میکرونی، از هر بلاک سه برش ۲۰ میکرونی زده شده و بدلیل در معرض هوا بودن و بجهت جلوگیری از آلودگی دور ریخته شدند. در حین کار با نمونه‌ها احتیاطات لازم جهت اجتناب از آلودگی مقاطع رعایت گردید (۱۶-۱۸). بهمنظور کنترل و اجتناب از آلودگی میان نمونه‌ها، بعد از برش از هر بلاک پارافینه بافت مثانه، از یک بلاک پارافینه بدون

در مجاری ادراری (urethra) مردان مبتلا به سوزاک مشخص شده است که احتمالاً از طریق تماس جنسی هم منتقل می‌شود (۱۱ و ۱۳).

اگرچه EBV به شدت با تعدادی از سرطان‌های انسانی وابسته است، برخی از سرطان‌ها به میزان زیادی در جمعیت‌های خاص و موقعیت‌های خاص جغرافیایی شیوع پیدا می‌کند که این تفاوت‌ها در شیوع نشان می‌دهد که عوامل محیطی و ژنتیکی نیز بر توسعه سرطان تأثیر گذارند. نخستین بار گازانیگا (Gazzaniga) و همکاران، حضور ژنوم EBV را در ۳۴ درصد از بافت‌های سرطان مثانه گزارش نمودند (۱۴). همچنین در مطالعه دیگری حضور ژنوم EBV در ۲۴ درصد از بافت کارسینوما سلول‌های یوروتیال گزارش گردید که پیشنهاد کننده نقش این ویروس در ایجاد آلودگی در بدخیمی‌های مجاری ادراری می‌باشد (۱۵). با توجه به اینکه نرخ شیوع سرطان مثانه در دنیا و ایران رو به افزایش است (۱ و ۲) و تاکنون هیچ مطالعه‌ای در جنوب ایران و استان بوشهر به بررسی شیوع ویروس EBV در بیماران مبتلا به کارسینوما مثانه نپرداخته است بنابراین انجام این نوع مطالعات جهت بررسی‌های اپیدمیولوژی برای کاهش بروز سرطان و شناسایی عوامل زمینه‌ساز بروز آن ضروری به نظر می‌رسد.

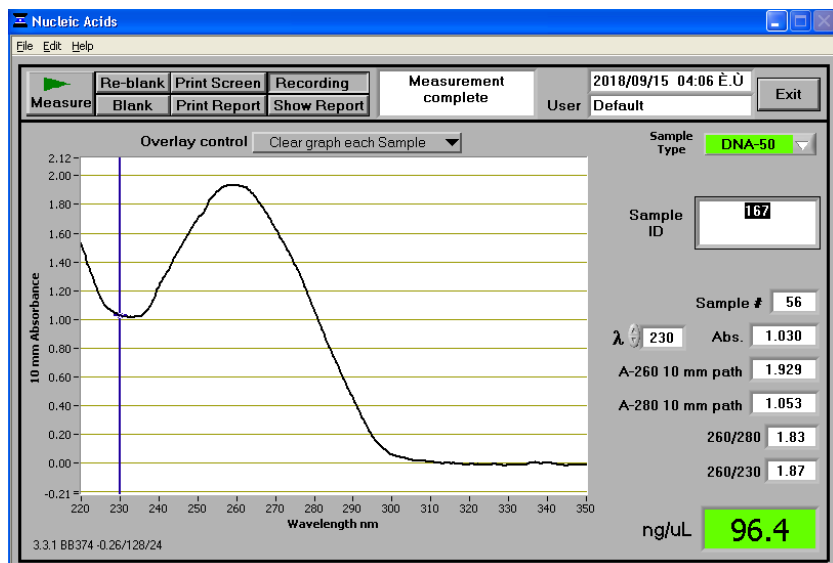
مواد و روش‌ها

این مطالعه مقطعی توصیفی - تحلیلی توسط کمیته اخلاق دانشگاه علوم پزشکی بوشهر با کد اخلاق ۱۹. ۱۶. ۹۳ و شماره گرن特 ۱۱۰-۲-۹۳ تصویب شده است. جمعیت مورد مطالعه شامل بلاک‌های بافت پارافینه افراد مبتلا به سرطان مثانه مراجعه کننده به بیمارستان شهدای خلیج فارس بوشهر می‌باشد. اطلاعات موجود در پرونده ۲۱۱ بیمار مبتلا به سرطان

BKRF1 (EBNA1 protein) استفاده شد. محصول مرحله اول و دوم PCR به ترتیب برابر ۲۹۶ جفت باز و ۲۳۰ جفت باز می‌باشد (جدول ۱) (۲۰). در مرحله اول و دوم آزمایش، اجزاء PCR با میزان $MgCl_2$ برابر ۲ میلی مولار، ۲۰۰ میکرومولار از هر dNTP و ۲/۵ یونیت آنزیم DNA پلیمراز و ۲۰۰ نانوگرم الگو به ازای هر واکنش ۵۰ میکرولیتر خواهد بود. شرایط PCR شامل ۵ دقیقه ۹۵°C (denaturation) بمدت ۶۰ ثانیه، دما اتصال بسط (annealing) ۵۶°C بمدت ۶۰ ثانیه و دما بسط (extension) ۷۲°C بمدت ۶۰ ثانیه و مرحله نهایی بسط (elongation final) ۵ دقیقه خواهد بود. به منظور تشخیص آنودگی‌های احتمالی در معرفه‌های PCR (master mix) یک کنترل فاقد الگو به طور روتین استفاده می‌شود همچنین در هر واکنش کنترل مثبت منظور گردید (۲۱).

بافت نیز برش زده شد و برش‌های پارافینه در میکروتیوب‌ها جمع‌آوری و مراحل تخلیص و PCR در مورد این میکروتیوب‌ها نیز انجام گردید (بدلیل محدودیت هزینه‌ها، محتويات هر ۱۰ میکروتیوب حاوی برش‌ها پارافینه بدون بافت، بعد از پارافین زدایی، در یک حجم بافر لیزکننده جهت تخلیص استفاده شد). در این مطالعه برای استخراج DNA از نمونه‌های بیوپسی از کیت تجاری High Pure PCR Template Preparation Kit شرکت Roche ساخت کشور آلمان و براساس دستورالعمل آن استفاده گردید. کارایی و بازده این کیت نسبت به کیت‌های تجاری دیگر جهت تخلیص اسیدنوكلئیک قابل تأیید شده است (۱۹). خلوص و غلظت اسیدنوكلئیک تخلیص شده با دستگاه نانودرایپ اندازه‌گیری گردید (شکل ۱).

جهت شناسایی ویروس اپشن‌بار، از روش Semi-nested PCR و با پرایمرهای اختصاصی ژن



شکل ۱) ارزیابی کمیت و خلوص DNA استخراج شده از بافت‌های پارافینه مثانه با دستگاه نانودرایپ

Fig 1) Evaluation of the quantity and purity of DNA extracted from the paraffin tissues of the bladder with the nanodrop device

جدول ۱) توالی پرایمرهای استفاده شده در این مطالعه

منبع	سایز	دما اتصال پرایمرها	موقعیت در ژن یا ژنوم	ناحیه در ژنوم	توالی پرایمرها	پرایمرها	ویروس
۲۰	۲۹۶ bp	۵۵°C	۹۹۰۳۰- ۹۹۰۴۸	EBNA1	AGGAGGGTGGTTGGAAAG	EB3-F1	EBV
			۹۹۰۷- ۹۹۳۲۵		AGACAATGGACTCCCTAG	EB4-R1	
	۲۳۰ bp	۵۵°C	۹۹۰۳۰- ۹۹۰۴۸		AGGAGGGTGGTTGGAAAG	EB3-F1	
			۹۹۲۳۹- ۹۹۲۵۸		ACTCAATGGTGTAAGACGAC	EB2-R2	
۱۹	۱۱۰ bp	۵۵°C	۵۲۴۸۱۷۹ ۵۲۴۸۲۸۸	β globin gene	ACACAACTGTGTTCACTAGC CAACTTCATCCACGTTCA	PCO3F PCO4R	Internal control
	۲۶۳ bp	۵۵°C	۱۰۴۲۳ ۱۰۶۸۶		GGTGAGTTGTATTAAAAGGTACTGG TCCTGCACCAGTAATATGCA	KRAS-F KRAS-R	

جفت باز می باشد. جهت تأیید نهایی تعدادی از نمونه های مثبت با کیت استخراج محصول PCR شرکت Roche تخلیص و جهت توالی یابی به شرکت Macrogen کره ارسال شدند. توالی یابی با استفاده از روش دی داکسی نوکلئوتیدتری فسفات نشان دار با موارد فلئورسنت انجام گردید (۲۲). کیفیت الکتروفوروگرامها (Electropherogram) با نرم افزار MEGA ویرایش ۱۰/۰ بررسی شدند و نتایج توالی National Center for NCBI () در قسمت Biotechnology Information Basic Local Alignment نوکلئوتید بلاست () Search Tool-BLAST توالی های موجود در سایت مقایسه گردید، همچنین MEGA درخت فیلوزنیک با استفاده از نرم افزار SPSS ویرایش ۱۰ رسم گردید. نتایج به دست آمده وارد نرم افزار SPSS ویرایش ۲۶ گردید و داده ها جهت هر متغیر بصورت میانگین \pm انحراف معیار، فراوانی و درصد بیان شدند و جهت تجزیه و تحلیل داده ها از آزمون های آماری مریع کای (χ^2) و فیشر (Fisher's exact test) استفاده شد. مقدار p کمتر از ۰/۰۵ از نظر آماری معنی دار در نظر گرفته شد.

به منظور ارزیابی و تأیید کیفیت DNA و اجتناب از نتایج منفی کاذب بدلا لیلی همانند نامناسب بودن DNA تخلیص شده یا بدلیل وجود مهار کننده های PCR، یک کنترل داخلی (Internal Control-IC) با استفاده از پرایمرهای اختصاصی ژن بتا گلوبین (Human β -globin gene) و یا پروتوبانکورژن KRAS برای نمونه ها گذاشته شد. جهت کنترل داخلی، واکنش PCR در حجم ۲۵ میکرولیتر انجام شد که شامل ۲/۵ میکرولیتر از بافر ۱۰ PCR ۱۰ برابر غلظت (۱۰X)، ۲/۵ میکرولیتر از ۱۵ میلی مولار $dNTP$ ۰/۵ میکرولیتر از $MgCl_2$ ۰/۵ میکرومولار از هر $dNTP$ ، ۰/۴ میکرومولار از هر پرایمر رفت و برگشت، ۱ واحد آنزیم Taq DNA polymerase ۰/۵ نانومیک با غلظت نهایی ۲۰۰ نانو گرم بود.

حجم ۱۰ میکرولیتر از محصولات PCR روی ژل آگاروز ۲ درصد حاوی DNA Safe Stain، به مدت ۱ ساعت در ۱۰۰V UV transilluminator در طول موج ۲۵۴ نانومولار عکس برداری شد. محصول مرحله اول PCR و nested PCR به ترتیب برابر ۲۹۶ جفت باز و ۲۳۰

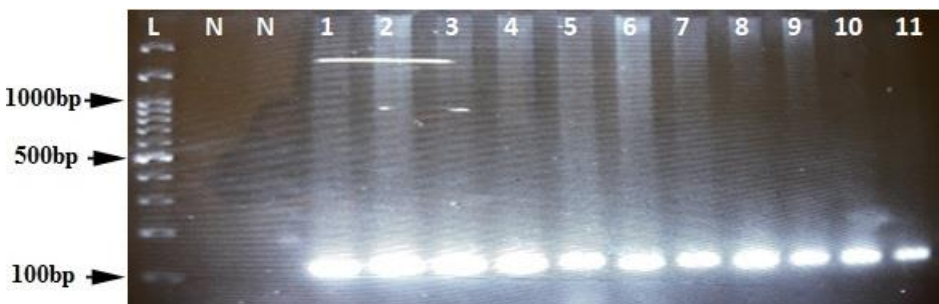
از تعداد $18 \pm 58/78$ و دامنه سنی ۲۲ تا ۸۴ سال بودند. از تعداد ۳۰ نمونه، تعداد ۱۱ نمونه التهابی و یا هموراژیک بودند و ۱۹ نمونه بافت مثانه نرمал بودند. ۱۸ نمونه از شهرستان بوشهر، ۵ نمونه شهرستان دشتستان، ۲ نمونه گناوه، ۳ نمونه شهرستان تنگستان، ۲ نمونه شهرستان دشتی بودند.

بعد از تخلیص اسید نوکلئیک از تعداد ۳۰ نمونه بافت غیرسرطانی و ۱۸۱ نمونه بافت بیوپسی سرطان مثانه ابتدا با نانودرایپ غلظت و خلوص DNA مورد بررسی قرار گرفتند (شکل ۱) سپس با PCR از ژن بتاگلوبین به عنوان کترل داخلی جهت اطمینان از عدم حضور مهارکننده‌های PCR بررسی شدند (شکل ۲) سپس جهت شناسایی ژنوم ویروس EBV با تکنیک nested PCR مورد بررسی قرار گرفتند (شکل ۳).

یافته‌ها

از تعداد ۱۸۱ بیمار مبتلا به سرطان مثانه که دامنه سنی برابر ۲۷ تا ۹۲ سال و میانگین سنی 64.5 ± 13.78 داشتند، تعداد ۱۳۸ نفر مرد با دامنه سنی ۲۹ تا ۹۲ سال و میانگین سنی 42.4 ± 13.42 و تعداد ۴۳ نفر زن با دامنه سنی ۲۷ تا ۸۱ سال و میانگین سنی 49.4 ± 14.64 stage آن‌ها T2-T3 بودند. میانگین سنی بیمارانی که آن‌ها Ta-T1 می‌باشد. میانگین سنی بیماران با افزایش گردید آن‌ها بیشتر می‌شود به طوری که در بیماران سرطانی با گردید یوروتیال پاپیلوما میانگین سنی برابر 50.0 ± 7.26 می‌باشد و در بیماران با گردید بالا برابر 71.0 ± 12.1 است.

از تعداد ۳۰ نمونه بافت مثانه غیرسرطانی به عنوان گروه کترل، تعداد ۱۶ مرد و ۱۴ زن با میانگین سنی



شکل ۲) الکتروفورز ژل آگاروز مربوط به محصولات PCR از ژن بتاگلوبین

Fig 2) Agarose gel electrophoresis of PCR products from betaglobin gene

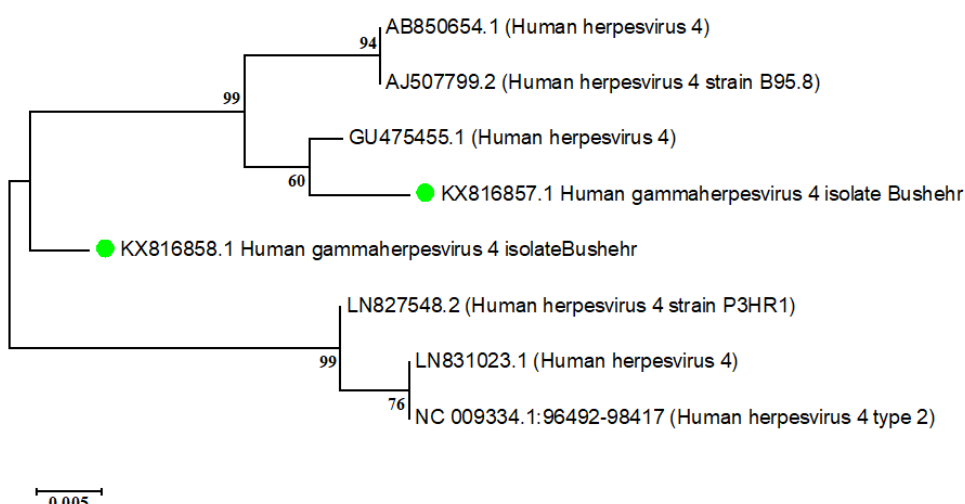


شکل ۳) الکتروفورز محصولات مرحله دوم آزمون PCR بمنظور تشخیص ژنوم ویروس EBV. الکتروفورز بر روی ژل آگاروز ۲ درصد. L: نشانگر DNA 100bp (چاهک اول)، N: کترل منفی، P: کترل مثبت، محصولات PCR نمونه‌های بیماران (نمونه شماره ۸ با باند اختصاصی ≈ 230 bp).

Fig 3) Electrophoresis of the products of the second round of PCR assay in order to detect EBV genome. Electrophoresis on 2% agarose gel. L: 100bp DNA ladder (first well), N: negative control, P: positive control, PCR products of patient samples (sample number 8 with specific band ≈ 230 bp).

از نمونه‌ها شناسایی نگردید ($p=0/33$). همچنین تعداد ۲ نمونه مثبت EBV جهت توالی‌بایی ارسال گردید و توالی آن‌ها با شماره دستیابی KX816857 و KX816858 در بانک ژن ثبت و بعد از مقایسه با توالی‌های مرجع و رسم درخت فیلوزنیک مشخص گردید که ایزووله‌ها مربوط به تایپ یک ویروس اپشن بار می‌باشد (شکل ۴).

پس از اینکه ۱۸۱ نمونه از نظر ویروس EBV با آزمون nested PCR مورد بررسی قرار گرفته، در تعداد ۷ مورد (۳/۹ درصد) از نمونه‌ها ژنوم EBV شناسایی گردید و ۱۷۴ مورد (۹۶/۱ درصد) از نظر وجود EBV منفی بودند. شکل ۳ نتایج الکتروفورز محصول PCR مرحله دوم را نشان می‌دهد. همچنین از ۳۰ مورد نمونه کنترل، ویروس EBV در هیچ کدام



شکل ۴) رسم درخت فیلوزنیک توسط نرم افزار MEGA-10 با روش Neighbor-joining براساس توالی نوکلئوتیدی ژن ۱ ایزووله‌های جدایشده از بافت سرطان مثانه (دایره سبز) در استان بوشهر و توالی‌های فرانس. ایزووله‌های بوشهر بیانگر تایپ ۱ ویروس EBV می‌باشد.

Fig 4) Phylogenetic tree drawing by MEGA-10 software with Neighbor-joining method based on nucleotide sequence of EBNA-1 gene isolated from bladder cancer tissue (green circle) in Bushehr province and reference sequences. Bushehr isolates indicate EBV type 1.

همچنین تعداد ۶ مورد (۸۵/۷ درصد) از ۷ مورد مثبت، مذکور بودند با $p=0/54$ که هم ارتباط آماری معناداری بین جنس مبتلا به سرطان مثانه و نمونه EBV مثبت به ما نشان نداد. تعداد ۴ مورد از ۷ مورد (۵۷/۱ درصد) از موارد مثبت EBV، مربوط به شهر بوشهر بود که نسبت به سایر شهرهای استان بوشهر بیشترین درصد را داشت ولی ارتباط آماری معناداری بین فراوانی شیوع EBV در شهرستان‌های مختلف استان وجود نداشت ($p=0/85$).

تمام نمونه‌های مثبت از نظر ویروس EBV دارای Stage Ta-T1 بودند (۷ نمونه (۱۰۰ درصد) از ۷ نمونه

جدول ۲ نتایج آماری به‌دست آمده از مطالعه بیوپسی‌های سرطان مثانه از نظر وجود ویروس EBV با استفاده از آزمون nested-PCR را به تفکیک سن، جنس، شهرستان، شهر، مرحله و درجه نمایش می‌دهد. بیشترین تعداد نمونه مثبت در آزمون PCR، مربوط به بازه سنی ۶۰-۶۹ سال و ۷۰-۷۹ سال با تعداد هر کدام ۲ نمونه (۲۸/۶ درصد) از ۷ نمونه مثبت شده است. ولی با توجه به $p=0/66$ از نظر آماری ارتباط معناداری بین سن ابتلا (یا سن بیماران) و میزان مثبت شدن عفونت EBV وجود ندارد.

است و تعداد ۳ نمونه (۴۲/۹ درصد) از نوع papillary neoplasm of low malignant potential به سایر گریدها بیشترین فراوانی را داشتند. $P=0.86$ نشان می‌دهد که بین گرید بیماری و مثبت بودن نمونه از نظر EBV ارتباط آماری معناداری وجود ندارد.

مثبت). علارغم این امر نتایج نشان دهنده عدم وجود ارتباط آماری معنادار میان مراحل مختلف پاتولوژی تومور مثانه با فراوانی شیوع عفونت EBV می‌باشد ($P=0.41$). تعداد ۳ نمونه از ۷ نمونه مثبت، که معادل ۴۲/۹ درصد بود دارای گرید Low grade papillary carcinoma

جدول ۲) نتایج آماری بدست آمده از مطالعه نمونه‌ها بیوپسی سرطان مثانه از نظر وجود ویروس EBV با آزمون PCR در استان بوشهر

P-value	تعداد بیماران با نتایج PCR مثبت ۱۷۴ (%. ۹۶/۱)	تعداد بیماران با نتایج PCR مثبت ۷ (%. ۳/۹)	تعداد کل بیماران مبتلا به سرطان مثانه (%. ۱۰۰)	
0.66	۶ (%. ۸۵/۷)	۱ (%. ۱۴/۳)	۷ (%. ۳/۹)	۳۰-۳۹
	۱۵ (%. ۱۰۰)	۰ (%. ۰)	۱۵ (%. ۸/۳)	۴۰-۴۹
	۴۵ (%. ۹۷/۸)	۱ (%. ۲/۲)	۴۶ (%. ۲۵/۴)	۵۰-۵۹
	۴۳ (%. ۹۵/۶)	۲ (%. ۲/۴)	۴۵ (%. ۲۲/۴)	۶۰-۶۹
	۳۷ (%. ۹۴/۴)	۲ (%. ۵/۱)	۳۹ (%. ۲۱/۵)	۷۰-۷۹
	۲۸ (%. ۹۶/۶)	۱ (%. ۳/۴)	۲۹ (%. ۱۶)	≥۸۰
0.54				گروه‌های سنی (سال)
	۱۳۲ (%. ۹۵/۷)	۶ (%. ۴/۳)	۱۳۸ (%. ۷۶/۲)	مرد
	۴۲ (%. ۹۷/۷)	۱ (%. ۲/۳)	۴۳ (%. ۲۲/۸)	زن
0.85				جنسیت
	۵۹ (%. ۹۳/۷)	۴ (%. ۶/۳)	۶۳ (%. ۳۴/۸)	بوشهر
	۱۱ (%. ۱۰۰)	۰ (%. ۰)	۱۱ (%. ۶/۱)	اهرم
	۱۵ (%. ۹۳/۸)	۱ (%. ۶/۲)	۱۶ (%. ۸/۸)	دلوار
	۲۶ (%. ۱۰۰)	۰ (%. ۰)	۲۶ (%. ۱۴/۴)	برازجان
	۹ (%. ۱۰۰)	۰ (%. ۰)	۹ (%. ۵)	آبیخش
	۳ (%. ۱۰۰)	۰ (%. ۰)	۳ (%. ۱/۷)	شبانکاره
	۲۱ (%. ۹۵/۵)	۱ (%. ۴/۵)	۲۲ (%. ۱۲/۲)	خورموج
	۳ (%. ۱۰۰)	۰ (%. ۰)	۳ (%. ۱/۷)	کاکی
	۹ (%. ۱۰۰)	۰ (%. ۰)	۹ (%. ۵)	دیر
	۲ (%. ۱۰۰)	۰ (%. ۰)	۲ (%. ۱/۱)	بردخون
	۳ (%. ۱۰۰)	۰ (%. ۰)	۳ (%. ۱/۷)	دیلم
	۴ (%. ۸۰)	۱ (%. ۲۰)	۵ (%. ۲/۸)	کنگان
	۸ (%. ۱۰۰)	۰ (%. ۰)	۸ (%. ۴/۴)	گواه
	۱ (%. ۱۰۰)	۰ (%. ۰)	۱ (%. ۰/۶)	جم
				مرحله تومور
0.42	۱۵۹ (%. ۹۵/۶)	۷ (%. ۴/۲)	۱۶۶ (%. ۹۱/۷)	Ta-T1 stage
	۱۵ (%. ۱۰۰)	۰ (%. ۰)	۱۵ (%. ۸/۳)	T2-T3 stage
0.86				درجه تومور
	۴ (%. ۱۰۰)	۰ (%. ۰)	۴ (%. ۲/۲)	یوروتیال پاپیلوما
	۵۹ (%. ۹۵/۲)	۳ (%. ۴/۸)	۶۲ (%. ۳۴/۳)	ثنوپلازی یوروتیال پاپیلاری با بدیخیمی پایین
	۶۵ (%. ۹۵/۶)	۳ (%. ۴/۴)	۶۸ (%. ۳۷/۶)	کارسینوما یوروتیال پاپیلاری با درجه پایین
	۴۶ (%. ۹۷/۹)	۱ (%. ۲/۱)	۴۷ (%. ۲۶)	کارسینوما یوروتیال پاپیلاری با درجه بالا

منفی بودند. همچنین در ۳۰ مورد از نمونه‌های گروه کنترل، ویروس EBV یافت نشد.

نخستین بار بررسی ویروس EBV در بافت سرطان مثانه بیش از دو دهه پیش صورت گرفت، از آن زمان تاکنون ارتباط بین سرطان مثانه و عفونت ویروس اپشتن بار در مطالعات محدودی مورد بررسی قرار گرفته است به طوریکه در برخی مطالعات شیوع پایین (۱۴ و ۱۵) و در برخی دیگر شیوع نسبتاً بالایی (۲۵ و ۲۶) از ویروس EBV را گزارش نمودند.

گازانیگا و همکاران در کشور ایتالیا با استفاده از تکنیک PCR ویروس EBV را در ۳۵ نمونه بافت سرطان مثانه بررسی نمودند که ژنوم ویروس EBV در ۱۲ نمونه (۳۴ درصد) از نمونه سرطانی تشخیص داده شد در حالی که در هیچ‌یک از نمونه‌های بافت نرمال ویروس EBV یافت نشد (۱۴). در مطالعه‌ای کیم (Kim) و همکاران در کشور کره جنوبی با استفاده از تکنیک هیریدیزاسیون درجا و PCR ویروس EBV را در ۷۳ نمونه بافت سرطان کلیه و ۱۸ بافت غیرسرطانی بررسی نمودند که ژنوم ویروس EBV ژنوتایپ ۱ در ۶/۸ درصد از نمونه‌های سرطانی تشخیص داده شد در حالی که در هیچ‌یک از نمونه‌های بافت غیرسرطانی ویروس EBV یافت نشد. محققان با توجه به درصد پایین عفونت نتیجه گرفتند که EBV نمی‌تواند مستقیماً در سرطان کلیه نقش داشته باشد (۲۷). در مطالعه ما نیز شیوع پایین از ژنوم ویروس EBV در بافت‌های سرطان مثانه شناسایی گردید، همچنین توالی ژنوم ویروس EBV شناسایی شده در مطالعه ما نشان داد که همانند مطالعه کیم و همکاران، ژنوتایپ ۱ بود. براساس تفاوت در ژن‌های EBNA-3B، EBNA-3A و EBNA-2 نهفته EBNA-3C و EBNA-3C ویروس EBV به دو ژنوتایپ اصلی

بحث

سرطان مثانه دهمین سرطان شایع در دنیا و ششمین سرطان شایع در مردان می‌باشد و ۳ درصد کل بدخیمی‌ها را شامل می‌شود که در مردان ۴ برابر شایع‌تر از زنان است (۱). در پژوهش ما نیز فراوانی سرطان مثانه در استان بوشهر در مردان ۳/۲ برابر شایع‌تر از زنان بود. تاکنون در منابع علمی در مورد ریسک فاکتورهای ابتلا به تومور مثانه عوامل متعددی همانند استعمال طولانی مدت دخانیات، تماس با مواد شیمیایی در رنگ‌ها، لاستیک‌ها، چرم‌ها و سایر ترکیبات صنعتی، شیستوزومیازیس، التهاب مزمن مثانه، عفونت‌های باکتریایی و ویروسی ذکر شده است (۴ و ۲۳). نقش EBV در لنفوم بورکیت و کارسینوما نازوفارنکس شناخته شده است، همچنین احتمالاً ویروس EBV به عنوان کوکارسینوژن در بدخیمی‌های دیگری شامل لنفوماهای هوچکین و غیرهوچکین، لوزه، زبان، حنجره، غده بنا گوشی، معده‌ای و ریوی درگیگر می‌باشد (۱۰-۱۲ و ۲۴). گرچه راه اصلی انتقال ویروس EBV ترشحات دهانی (براق) است ولی احتمال انتقال از طریق تماس جنسی نیز وجود دارد و بدلیل نزدیکی مثانه به سطح مخاطی مجرای ادراری تناسلی، ویروس EBV ممکن است نقش مهمی در آلوگی مثانه داشته باشد (۹). در مطالعه حاضر که هدف آن در خصوص جستجوی رابطه احتمالی ویروس EBV با سرطان مثانه می‌باشد، آزمون‌های مولکولی جهت تشخیص ژنوم این ویروس، بروی بافت پارافینه مربوط به ۱۸۱ بیمار مبتلا به سرطان مثانه و تعداد ۳۰ نمونه غیرسرطانی انجام گرفت. در مطالعه ما از ۱۸۱ نمونه سرطانی، تعداد ۷ مورد (۳/۹ درصد) از نظر EBV DNA مثبت و ۱۷۴ مورد (۹۶/۱ درصد)

اولیه وجود دارد (۱۵). در مطالعه‌ای پانگیوتاکیس (Panagiotakis) و همکاران در کشور یونان در تعداد ۳۰ نمونه بیوپسی مثانه مربوط به گروه سرطانی و ۳۰ نمونه بیوپسی بافت سالم (گروه کنترل)، ویروس EBV شیوع بالاتری (۵۰ درصد) در نمونه‌های بیوپسی سرطانی نسبت به بافت سالم (۱۳/۳ درصد) را داشت، در حالی‌که در مطالعه ما در گروه کنترل ویروس EBV شناسایی نگردید (۳۰). در مطالعه آبه (Abe) و همکاران، مشاهده گردید که از ۳۹ نمونه سرطان مثانه ۲۶ نمونه (۶۶/۷ درصد) به ویروس EBV آلوه بودند. همچنین در این مطالعه همانند مطالعه ما در هیچ‌کدام از نمونه‌های کنترل، ویروس EBV شناسایی نشد (۲۵).

در مقایسه با مطالعات قبلی انجام شده در این باره (۱۴، ۲۵، ۲۶، ۲۹ و ۳۰)، حجم نمونه در مطالعه ما نسبت به سایرین بیشتر بوده که خود سبب ایجاد اطلاعات دقیق‌تر و وسیع‌تر می‌شود و امکان وجود خطا در این حجم نمونه کمتر بوده و نتایج قابل اعتمادتر می‌باشد. در مطالعه ما، از روش آزمون PCR یک مرحله‌ای می‌باشد استفاده گردید و این خود دقت مطالعه را بالاتر می‌برد. همچنین در مطالعه حاضر جهت اطمینان از صحت نتایج، آزمون nested PCR مجدداً برای نمونه‌های EBV مثبت تکرار گردید. از فرضیات دیگر این مطالعه، بررسی ارتباط بین سن، جنس، مرحله و درجه تومور با میزان مثبت شدن نمونه از نظر EBV بود که در این مطالعه ارتباط معناداری میان متغیرهای فوق و شیوع عفونت EBV در بیماران مبتلا به سرطان مثانه یافت نگردید که مشابه با نتیجه مطالعه پانگیوتاکیس (۳۰) و علی‌نژاد (۲۶) می‌باشد.

شامل تایپ ۱ و تایپ ۲ طبقه‌بندی می‌شود. همچنین بعضی از طبقه‌بندی‌ها براساس تغییرات در ژن‌های EBNA-1 و LMP-1 انجام شده است (۲۸). گرچه ژنتوتایپ‌های ویروس EBV توزیع جغرافیایی مختلفی دارند ولی تایپ ۱ در جاودان کردن لغوسیت‌های B مؤثرتر از تایپ ۲ عمل می‌کند (۲۸).

Dier (Dere) و همکاران، در ترکیه در ۴۴ بافت کارسینوما یوروتلیال مجاری فوقانی ادراری، RNAهای کوچک ویروس EBV (EBER) را با ۲۹/۵ تکنیک هیبریدیزاسیون درجا در ۱۳ بیمار (درصد) از نمونه‌ها شناسایی نمودند، محققان پیشنهاد نمودند که EBV ممکن است در پاتوژنر کارسینوما یوروتلیال نقش داشته باشد در هر صورت این یافته‌ها نیازمند تأیید توسط مطالعات با حجم نمونه بزرگ می‌باشد (۲۹).

علی‌نژاد و همکاران در همدان نشان دادند که در ۴۰ نمونه کارسینوم مثانه، تعداد ۲۹ نمونه (۷۲/۵ درصد) با ویروس EBV آلوه بودند اما همانند مطالعه ما بین شیوع بالای ویروس EBV و متغیرهای سن بیماران و مرحله تومور ارتباط معنی‌داری مشاهده نشد (۲۶). در مطالعه حاضر جهت کاهش خطا و بالابردن کیفیت مطالعه، از گروه کنترل استفاده شده است در صورتی که در مطالعه علی‌نژاد (۲۶) از گروه کنترل استفاده نشده است و این شیوع بالا ممکن است تحت تأثیر شیوع بالا جمعیت عموم آن منطقه باشد.

در تحقیقاتی که چانگ (chuang) و همکاران، در تایوان، بر روی ۱۰۰ بیمار مبتلا به سرطان مثانه انجام دادند، RNAهای کوچک ویروس EBV (EBER) را با تکنیک هیبریدیزاسیون درجا در ۳۱ درصد از بیماران شناسایی نمودند، این تحقیق نشان می‌دهد که ارتباط بین عفونت EBV و بخشی از تومورهای اوروتلیال

به دست آمده این بود که بین سن، جنس، مرحله و درجه تومور و مثبت شدن نمونه از نظر ویروس EBV ارتباط آماری معناداری وجود ندارد. با توجه به شیوع بالای سرطان مثانه در بین مردم استان بوشهر و با توجه به آلدگی روز افزون هوا در این منطقه، وجود مشاغل پرخطر و مصرف سیگار و قلیان، احتمال می‌رود نقش سایر عوامل خطر پررنگتر از نقش ویروس EBV در ایجاد سرطان مثانه باشد. از محدودیت‌های مطالعه حاضر نبود شرح حال کامل بیماران در پرونده آن‌ها بود زیرا با توجه به ریسک فاکتورهای محیطی متعدد دخیل در ایجاد سرطان مثانه، گرفتن شرح حال دقیق همانند نوع شغل، وضعیت مصرف دخانیات، وضعیت رژیم تغذیه‌ای و سابقه فامیلی می‌تواند بسیار کمک کننده باشد. لذا اخذ شرح حال کامل و دقیق از بیماران و درج آن در پرونده بیماران توسط دانشجویان، پزشکان و پرسنل توصیه می‌شود.

سپاس و قدردانی

این پژوهش با کد اخلاق ۹۳-۱۶-۱۹ B و شماره گرفت ۹۳-۲-۱۱۰ تحت حمایت مالی معاونت محترم پژوهشی دانشگاه علوم پزشکی بوشهر صورت گرفت. محققان این مقاله بدین وسیله مراتب تقدير و تشکر خود را از همکاری صمیمانه ریاست محترم مرکز تحقیقات طب گرمسیری و عفوونی خلیج‌فارس اعلام می‌نمایند.

تضاد منافع

هیچ‌گونه تعارض منافع توسط نویسنده‌گان مقاله بیان نشده است.

References:

- Richters A, Aben KKH, Kiemeney LALM. The global burden of urinary bladder cancer: an update. *World J Urol* 2020; 38(8): 1895-904. doi: [10.1007/s00345-019-02984-4](https://doi.org/10.1007/s00345-019-02984-4).

برخی از مطالعات شیوع تقریباً ۷۰ درصدی از ویروس EBV را در کارسینوما مثانه گزارش نمودند (۲۵ و ۲۶) که باستی احتمال آلدگی متقاطع میان نمونه‌ها در طی مراحل کاری را نیز در نظر گرفت. در تکنیک PCR در صورت عدم تجربه لازم و عدم رعایت اصول علمی بروز آلدگی و ایجاد نتایج مثبت کاذب اجتناب ناپذیر است. در این پژوهش بمنظور کنترل و اجتناب از آلدگی میان نمونه‌ها، در حین برش با میکروتوم برای هر نمونه نیز یکبار مصرف و دستکش پلاستیکی یکبار مصرف استفاده گردید. بمنظور جلوگیری از آلدگی احتمالی در مراحل کار، آماده‌سازی نمونه و تخلیص DNA، آماده‌سازی معرف‌های PCR یا مخلوط واکنش PCR و انجام مرحله اول و مرحله دوم PCR و آنالیز محصول PCR با الکتروفورزیس ژل آگاروز (post-PCR analyses) در فضاهای جداگانه صورت گرفت. همچنین تمام فضاهای و هودها قبل از کار UV تابانده شد و در تمام مراحل کاری از سمپلرهای مجزا و نوک سمپلرهای فیلتردار استریل استفاده گردید.

نتیجه‌گیری

سرطان مثانه دارای ریسک فاکتورهای متعددی است. علیرغم شناسایی ویروس EBV در تقریباً ۴ درصد از نمونه‌های بیوپسی مثانه سرطانی، براساس یافته‌های مطالعه حاضر، بعيد است که ویروس EBV عامل مؤثری در ایجاد سرطان مثانه در استان بوشهر باشد و احتمالاً در جمعیت مورد مطالعه ما عوامل خطر دیگری در اتیولوژی تومور مثانه نقش دارد. از دیگر نتایج

- Siegel RL, Miller KD, Fuchs HE, et al. Cancer statistics, 2022. *CA Cancer J Clin* 2022; 72(1): 7-33. doi: [10.3322/caac.21708](https://doi.org/10.3322/caac.21708).

- 3.Ploeg M, Aben KK, Kiemeneij LA. The present and future burden of urinary bladder cancer in the world. *World J Urol* 2009; 27(3): 289-93. doi: [10.1007/s00345-009-0383-3](https://doi.org/10.1007/s00345-009-0383-3).
- 4.Kaufman DS, Shipley WU, Feldman AS. Bladder cancer. *Lancet* 2009; 374(9685): 239-49. doi: [10.1016/S0140-6736\(09\)60491-8](https://doi.org/10.1016/S0140-6736(09)60491-8).
- 5.Saginala K, Barsouk A, Aluru JS, et al. Epidemiology of Bladder Cancer. *Med Sci (Basel)* 2020; 8(1): 15. doi: [10.3390/medsci8010015](https://doi.org/10.3390/medsci8010015).
- 6.Dianatinasab M, Forozani E, Akbari A, et al. Dietary patterns and risk of bladder cancer: a systematic review and meta-analysis. *BMC Public Health* 2022; 22: 73. doi: [10.1186/s12889-022-12516-2](https://doi.org/10.1186/s12889-022-12516-2).
- 7.Wilson VG. Viral Cancer. *Viruses: Intimate Invaders*. 1st ed. Cham: Springer Nature Switzerland AG, 2022, 341. <https://www.bookdepository.com/Viruses-Intimate-Invaders-Van-G-Wilson/9783030854867>
- 8.Alibek K, Baiken Y, Kakpenova A, et al. Implication of human herpesviruses in oncogenesis through immune evasion and suppression. *Infect Agents Cancer* 2014; 9: 3. doi: [10.1186/1750-9378-9-3](https://doi.org/10.1186/1750-9378-9-3).
- 9.Pagano JS. Is Epstein-Barr virus transmitted sexually? *J Infect Dis* 2007; 195(4): 469-70. doi: [10.1086/510861](https://doi.org/10.1086/510861).
- 10.Roulston JE, Bartlett JMS. Molecular Diagnosis of Cancer Methods and Protocols. 2nd ed. Totowa, New Jersey: Humana Press Inc, 2004, 394. <https://doi.org/10.1385/1592597602>
- 11.Knipe DM, Howley P. *Fields Virology*. 6th ed. New York: Lippincott Williams & Wilkins (LWW), 2013, 2664. <https://www.wolterskluwer.com/en/solutions/ovid/fields-virology-6th-edition-15514?>
- 12.Landers RJ, O'Leary JJ, Crowley M, et al. Epstein-Barr virus in normal, pre-malignant, and malignant lesions of the uterine cervix. *J Clin Pathol* 1993; 46(10): 931-5. doi: [10.1136/jcp.46.10.931](https://doi.org/10.1136/jcp.46.10.931).
- 13.Israele V, Shirley P, Sixbey JW. Excretion of the Epstein-Barr virus from the genital tract of men. *J Infect Dis* 1991; 163(6): 1341-3. doi: [10.1093/infdis/163.6.1341](https://doi.org/10.1093/infdis/163.6.1341).
- 14.Gazzaniga P, Vercillo R, Gradilone A, et al. Prevalence of papillomavirus, Epstein-Barr virus, cytomegalovirus, and herpes simplex virus type 2 in urinary bladder cancer. *J Med Virol* 1998; 55(4): 262-7. doi: [10.1002/\(sici\)1096-9071\(199808\)55:4<262::aid-jmv2>3.0.co;2-z](https://doi.org/10.1002/(sici)1096-9071(199808)55:4<262::aid-jmv2>3.0.co;2-z).
- 15.Chuang CK, Liao SK. Epstein-Barr virus infection in urothelial transitional cell carcinoma tissues. *BJU Int* 2004; 93(4): 495-8. doi: [10.1111/j.1464-410x.2003.04687.x](https://doi.org/10.1111/j.1464-410x.2003.04687.x).
- 16.Kwok S, Higuchi R. Avoiding false positives with PCR. *Nature* 1989; 339(6221): 237-8. doi: [10.1038/339237a0](https://doi.org/10.1038/339237a0).
- 17.Victor T, Jordaan A, Du Toit R, et al. Laboratory experience and guidelines for avoiding false positive polymerase chain reaction results. *Eur J Clin Chem Clin Biochem* 1993; 31(8): 531-5. doi: [10.1515/cclm.1993.31.8.531](https://doi.org/10.1515/cclm.1993.31.8.531).
- 18.Bacich DJ, Sobek KM, Cummings JL, et al. False negative results from using common PCR reagents. *BMC Res Notes* 2011; 4: 457. doi: [10.1186/1756-0500-4-457](https://doi.org/10.1186/1756-0500-4-457).
- 19.Taherkhani R, Farshadpour F, Makvandi M, et al. Determination of cytomegalovirus prevalence and glycoprotein B genotypes among ulcerative colitis patients in ahvaz, iran. *Jundishapur J Microbiol* 2015; 8(2): e17458. doi: [10.5812/jjm.17458](https://doi.org/10.5812/jjm.17458).
- 20.Broccolo F, Bossolasco S, Careddu AM, et al. Detection of DNA of lymphotropic herpesviruses in plasma of human immunodeficiency virus-infected patients: frequency and clinical significance. *Clin Diagn Lab Immunol* 2002; 9(6): 1222-8. doi: [10.1128/cdli.9.6.1222-1228.2002](https://doi.org/10.1128/cdli.9.6.1222-1228.2002).
- 21.Lo YM, Chan KC. Setting up a polymerase chain reaction laboratory. *Methods Mol Biol* 2006; 336: 11-8. doi: [10.1385/1-59745-074-X:11](https://doi.org/10.1385/1-59745-074-X:11).
- 22.Sanger F, Nicklen S, Coulson AR. DNA sequencing with chain-terminating inhibitors. *Proc Natl Acad Sci U S A* 1977; 74(12): 5463-7. doi: [10.1073/pnas.74.12.5463](https://doi.org/10.1073/pnas.74.12.5463).

- 23.Zarzour AH, Selim M, Abd-Elsayed AA, et al. Muscle invasive bladder cancer in Upper Egypt: the shift in risk factors and tumor characteristics. *BMC Cancer* 2008; 8: 250. doi: [10.1186/1471-2407-8-250](https://doi.org/10.1186/1471-2407-8-250).
- 24.Taherkhani R, Farshadpour F, Mirjalili A, et al. Determination of the association between Epstein-Barr virus (EBV) infection and Multiple sclerosis (MS) disease. *Iran South Med J* 2014; 17(4): 666-75. URL: <http://ismj.bpums.ac.ir/article-1-583-en.html>
- 25.Abe T, Shinohara N, Tada M, et al. Infiltration of Epstein-Barr virus-harboring lymphocytes occurs in a large subset of bladder cancers. *Int J Urol* 2008; 15(5): 429-34. doi: [10.1111/j.1442-2042.2008.02030.x](https://doi.org/10.1111/j.1442-2042.2008.02030.x).
- 26.Alinezhad Z, Ghane M, Kaboosi H. Detection and Evaluate the Frequency of Cytomegalovirus and Epstein-Barr Virus in Bladder Tumor Samples in Hamedan Province, 1392. *Iran J Med Microbiol* 2015; 9(1): 22-8. (Persian) URL: <http://ijmm.ir/article-1-410-en.html>
- 27.Kim KH, Han EM, Lee ES, et al. Epstein-Barr virus infection in sarcomatoid renal cell carcinoma tissues. *BJU Int* 2005; 96(4): 547-52. doi: [10.1111/j.1464-410X.2005.05682.x](https://doi.org/10.1111/j.1464-410X.2005.05682.x).
- 28.Zanella L, Riquelme I, Buchegger K, et al. A reliable Epstein-Barr Virus classification based on phylogenomic and population analyses. *Sci Rep* 2019; 9: 9829. doi: [10.1038/s41598-019-45986-3](https://doi.org/10.1038/s41598-019-45986-3).
- 29.Dere Y, Ekmekçi S, Akarken İ, et al. Can Epstein-Barr virus play a role in upper urinary tract urothelial carcinomas? *Ann R Coll Surg Engl* 2020; 102(8): 616-20. doi: [10.1308/rcsann.2020.0138](https://doi.org/10.1308/rcsann.2020.0138).
- 30.Panagiotakis GI, Papadogianni D, Chatzioannou MN, et al. Association of human herpes, papilloma and polyoma virus families with bladder cancer. *Tumour Biol* 2013; 34(1): 71-9. doi: [10.1007/s13277-012-0512-2](https://doi.org/10.1007/s13277-012-0512-2).

Original Article

Molecular Detection of Epstein-Barr virus in Biopsy Samples of Patients Suffering from Bladder Cancer in Bushehr Province, Iran

R. Taherkhani (PhD)^{1,2*}, MR. Farzaneh (MD)³, S. Taherkhani (PhD)⁴, A. Amini (MD)², F. Keshtkar (MD)¹, M. Aghasipour (MD)¹, A. Badri (MD)¹, Z. Anaei (MD)¹, F. Farshadpour (PhD)^{1,2}**

¹ Department of Virology, School of Medicine, Bushehr University of Medical Sciences, Bushehr, Iran

² The Persian Gulf Tropical Medicine Research Center, The Persian Gulf Biomedical Research Institute, Bushehr University of Medical Sciences, Bushehr, Iran

³ Department of Pathology, School of Medicine, Bushehr University of Medical Sciences, Bushehr, Iran

⁴ Department of Midwifery, School of Medicine, Arak University of Medical Sciences, Arak, Iran

(Received 20 Aug, 2021)

Accepted 23 Oct, 2022)

Abstract

Background: Bladder cancer is the sixth most common cancer in men and the tenth most common cancer in women. The role of viral infections in the development of urinary bladder cancer has been discussed a lot in recent years. The role of Epstein-Barr Virus (EBV) as a cocarcinogen has been proven in some human cancers. Therefore, the aim of this research is the molecular investigation of EBV in bladder masses in Bushehr province.

Materials and Methods: The current research is a descriptive-analytical study. The study population includes bladder tissue biopsies of people diagnosed with bladder cancer referred to Persian Gulf Martyrs Hospital in Bushehr. The paraffin-embedded bladder biopsy tissue of 181 patients with bladder cancer with an average age of 64.52 ± 13.78 as well as 30 non-cancerous bladder tissue samples as the control group were examined for molecular tests after deparaffinization and nucleic acid purification. In order to ensure the absence of PCR inhibitors, human beta globin gene was first detected as an internal control, and then the BKRF1 gene of EBV was detected by nested PCR method. Finally, SPSS software version 26 was used to analyze the data and perform statistical tests.

Results: Out of 181 bladder carcinoma samples, 7 cases (3.9%) were infected with EBV, but no statistically significant relationship was found for age, sex, and stage and grade of tumor with EBV positive samples ($P > 0.05$). In addition, EBV was not detected in any of the non-cancerous control samples; however, the difference in the prevalence of EBV between the bladder cancer patients' group and the control group was not statistically significant ($P = 0.33$). In addition, the sequencing of the nested PCR products of the BKRF1 gene and the phylogenetic analysis indicate the presence of EBV type 1 in the positive samples.

Conclusion: Based on the findings of the present study and despite the fact that the percentage of EBV infection in cancerous samples was higher than in non-cancerous samples, it is unlikely that EBV is an effective factor in causing bladder cancer in Bushehr province, and other risk factors are probably involved in the etiology of bladder tumors in our study population, such as increasing air pollution in this region of the country, high-risk occupations, smoking, and other carcinogenic viral factors.

Keywords: Bladder Cancer, Epstein-Barr Virus, Nested PCR, Bushehr Province.

©Iran South Med J.All right reserved

Cite this article as: Taherkhani R, Farzaneh MR, Taherkhani S, Amini A, Keshtkar F, Aghasipour M, Badri A, Anaei Z, Farshadpour F. Molecular Detection of Epstein-Barr virus in Biopsy Samples of Patients Suffering from Bladder Cancer in Bushehr Province, Iran. Iran South Med J 2022; 25(4): 326-339

*Address for correspondence: Department of Virology, School of Medicine, Bushehr University of Medical Sciences, Bushehr, Iran. E-mail: F.Farshadpour@yahoo.com

*ORCID: 0000-0001-6499-0531

**ORCID: 0000-0002-8317-9573